

НЕЛИНЕЙНЫЕ ВОЛНЫ НОВОГО ТИПА НА ИНТЕРФЕЙСЕ ПРИ ФЕРМИ-РЕЗОНАНСЕ КОЛЕБАНИЙ ГРАНИЧАЩИХ КРИСТАЛЛОВ

© О.А.Дубовский, А.В.Орлов

Физико-энергетический институт,
249020 Обнинск, Калужская обл., Россия

(Поступила в Редакцию 13 июля 1995 г.

В окончательной редакции 8 ноября 1995 г.)

Исследуются нелинейные экситонные колебательные возбуждения, распространяющиеся вдоль интерфейса в условиях Ферми-резонанса граничащих кристаллов. Предложен метод решения соответствующей системы нелинейных динамических уравнений, использующий оригинальную рекуррентную процедуру. С использованием этого метода найдены решения солитонного типа. Показано, что обнаруженнное в предыдущих работах решение этого типа существует не только при фиксированной частоте, найденной ранее при условии жесткого ограничения на связь огибающих нелинейных волн в граничащих кристаллах, но и в более широком диапазоне частот. Найдено несколько принципиально новых решений квазисолитонного типа для нелинейных волн, распространяющихся вдоль интерфейса.

Известно, что эпитаксиальное выращивание неорганических кристаллических материалов возможно только для веществ с малой постоянной решетки. В то же время в связи с тем, что в органических материалах атомы связаны слабыми ван-дер-ваальсовыми силами, возможно создание сверхрешеток с большими постоянными кристаллических структур. В последнее время интенсивно развиваются новые технологии получения кристаллических органических твердых пленок и многослойных сверхрешеток с дальним порядком для нелинейных оптических устройств, разрабатываемых, в частности, с целью создания оптического компьютера [1-3]. В связи с этим необходим теоретический анализ линейных и нелинейных оптических свойств многослойных органических материалов. Некоторые связанные с этим проблемы обсуждались недавно в работах [4-9]. В [5] было указано на один из механизмов оптической нелинейности многослойных органических структур. Он основан на связанном с ферми-резонансом взаимодействии экситонных возбуждений контактирующих слоев. В [6,7,9] обсуждался ферми-резонанс двух компонент интерфейса (границы раздела двух соседних кристаллов) в многослойных структурах для случая, когда энергия экситона $\hbar\omega_c$ типа С в одном С-слое близка к суммарной энергии двух экситонов В типа $2\hbar\omega_b$ в соседнем слое. В этих работах

были найдены новые состояния: квантовые и классические интерфейсные моды в условиях ферми-резонанса (FRIM), возникающие благодаря ангармоническому взаимодействию между молекулами В- и С-типа.

В [7] было показано, что рассматриваемое ангармоническое взаимодействие может приводить к бистабильности при переносе энергии. Для случая простейшей одномерной модели было продемонстрировано, что существует тесная связь между бистабильностью и классическими FRIM. Этот подход был распространен в [8,9] на трехмерные системы с единственным интерфейсом между двумя органическими материалами. Было найдено дисперсионное соотношение для нелинейных волн, распространяющихся вдоль интерфейса. В [8,9] было показано, что в длинноволновом пределе только при весьма жестком ограничении на параметры системы, определяющие перенос энергии вдоль интерфейса, существуют солитонные возбуждения с единственной фиксированной частотой, определяемой этими параметрами.

В настоящей работе показано, что это ограничение связано с тем, что в аналитическом расчете [8,9] использовался лишь определенный вид нелинейных волн типа обратного гиперболического косинуса. Как это следует из приведенных ниже расчетов, огибающие могут иметь более сложную, чем обратный гиперболический косинус, пространственно-временную зависимость. Полученная в [8,9] частота солитона при жесткой связи между параметрами ω_b , ω_c , ширинами В- и С-зон является лишь одной точкой на более общей зависимости от несущей частоты Ω , от тех же параметров, которые при этом не связаны каким-либо жестким условием. В данной работе предлагается оригинальный рекуррентный метод решения системы нелинейных уравнений, описывающих в классическом приближении распространение нелинейных волн вдоль интерфейса. С помощью этого метода с использованием ЭВМ найдено несколько типов решений соответствующей системы уравнений. Только одно из найденных решений соответствует солитонному возбуждению, найденному в [8,9] в длинноволновом пределе. Некоторые другие решения имеют принципиально иной тип огибающих. В частности, найдены пульсирующие, а не монотонные огибающие, огибающие типа «темнового» солитона и т. д. Детальный анализ найденных решений предполагается в дальнейшем. Предложенный метод также позволяет непосредственно проследить образование возбуждений типа бисолитона, трисолитона и т. д. Возможно, предложенный метод может быть использован и для исследования нелинейных решений при ангармонизме иного типа, отличного от ангармонизма, определяющего ферми-резонанс.

Рассмотрим одномерную модель интерфейса (рис. 1,*a*) в виде системы пар молекул В и С, связанных в замкнутую кристаллическую цепочку (рис. 1,*b*). Ограничение замкнутой цепочкой не является принципиальным для предложенного далее метода и используется лишь для сокращения численных расчетов. Учет взаимодействия граничных молекул и молекул в «глубине» В- и С-кристаллов не вызывает принципиальных проблем. При учете кубического ангармонизма гамильтониан H такой кристаллической цепочки определяется следующим образом [6]:

$$H = H_c + H_b + H_{\text{int}}, \quad (1)$$

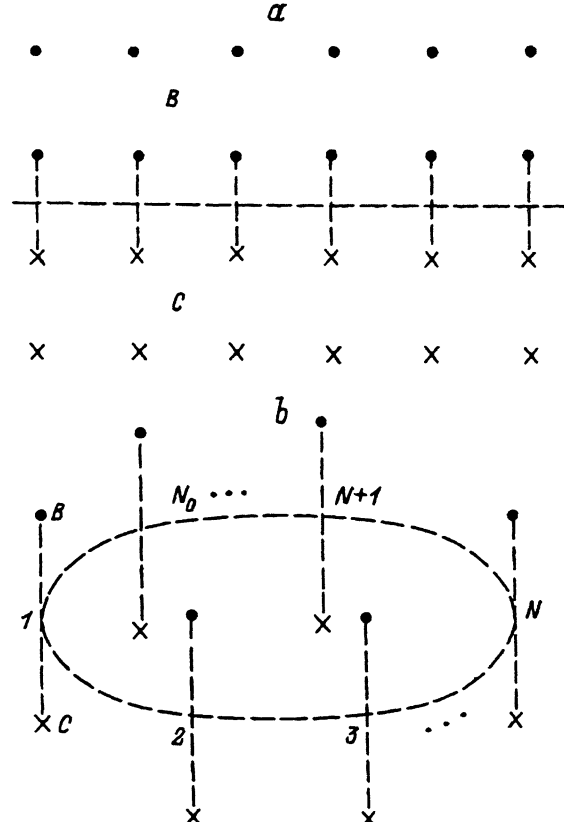


Рис. 1. Представление кристаллического интерфейса (а) в виде замкнутой кристаллической цепочки (б).

где H_c и H_b имеют вид

$$H_c = \sum_n \hbar\omega_c c_n^+ c_n + \sum_{nm} V_{nm}^{(c)} c_n^+ c_m, \quad (2)$$

$$H_b = \sum_n \hbar\omega_b b_n^+ b_n + \sum_{nm} V_{nm}^{(b)} b_n^+ b_m + A \sum_n b_n^+ b_n^+ b_n b_n. \quad (3)$$

В (1)–(3) b^+ , c^+ , b , c — бозе-операторы рождения и уничтожения возбуждений, $V_{nm}^{(c)}$ и $V_{nm}^{(b)}$ — матричные элементы оператора межмолекулярного взаимодействия, A — константа ангармонического взаимодействия четвертого порядка. Гамильтониан взаимодействия H_{int} между молекулами В и С определяется кубическим ангармонизмом, определяющим эффект ферми-резонанса.

$$H_{int} = \Gamma [c_n(b_n^+)^2 + b_n^2 c_n^+], \quad (4)$$

где Γ — константа взаимодействия. Детальное обоснование такого вида гамильтониона приводится в [6].

Уравнения движения для операторов b_n , c_n

$$i\hbar \frac{db_n}{dt} = -[H, b_n], \quad i\hbar \frac{dc_n}{dt} = -[H, c_n] \quad (5)$$

имеют с учетом (1)–(4) при взаимодействии ближайших соседей $V_{nm}^{(c,b)} = V_{c,b}\delta_{n,m\pm 1}$ следующий вид:

$$\begin{aligned} i\hbar \frac{db_n}{dt} &= \hbar\omega_b b_n + V_b(b_{n+1} + b_{n-1}) + 2\Gamma b_n^+ c_n, \\ i\hbar \frac{dc_n}{dt} &= \hbar\omega_c c_n + V_c(c_{n+1} + c_{n-1}) + \Gamma b_n b_n. \end{aligned} \quad (6)$$

Решение уравнения Шредингера

$$H|2\rangle = E|2\rangle \quad (7)$$

для волновой функции смешанного состояния С, 2В с энергией E может быть найдено в виде [6]

$$|2\rangle = \sum_n \Phi_n c_n^+ |0\rangle + \sum_{nm} \Psi_{nm} b_n^+ b_m^+ |0\rangle, \quad (8)$$

где $|0\rangle$ — основное состояние. Подстановка (8) в (7) приводит после некоторых вычислений к следующей системе уравнений для функций Φ_n и Ψ_{nm} :

$$E\Phi_n = \hbar\omega_c \Phi_n + \sum_m V_{nm}^{(c)} \Phi_m + \Gamma \Psi_{nn},$$

$$E\Psi_{nm} = 2\hbar\omega_b \Psi_{nm} + \sum_l \left(V_{nl}^{(b)} \Psi_{lm} + V_{ml}^{(b)} \Psi_{nl} \right) + 2\Gamma \Phi_n \Psi_{nm} + 2A \Psi_{nm} \delta_{nm}. \quad (9)$$

При больших числах заполнения уровней возбуждений, т. е. при сильной накачке, обычно используется классическое приближение, предложенное для исследования ферми-резонанса в [5–7]. Мы не будем приводить полностью процедуру решения (9) и согласование получаемых решений с полученными далее классическими решениями. Процедура такого согласования представлена в [9]. Как и в [9], для нахождения соответствующих классических решений будем полагать, что константа ангармонизма A достаточно велика $A \gg |V_b|$. При этом в соответствии с [8] в классическом приближении все операторы в (6) заменяются их средними значениями $\langle b_n \rangle = B_n$ и $\langle c_n \rangle = C_n$, где B_n и C_n — классические амплитуды колебаний. Эти переменные удовлетворяют следующей системе уравнений:

$$i\hbar \frac{\partial B_n}{\partial t} - \hbar\omega_b B_n - V_b(B_{n+1} + B_{n-1}) = 2\Gamma B_n^* C_n, \quad (10a)$$

$$i\hbar \frac{\partial C_n}{\partial t} - \hbar\omega_c C_n - V_c(C_{n+1} + C_{n-1}) = \Gamma B_n^2. \quad (10b)$$

В [8], как это видно из последующего анализа, найдено лишь одно из частных решений этой системы, соответствующее солитону, распространяющемуся вдоль поверхности интерфейса между двумя кристаллами, причем, что существенно, полученные в континуальном приближении $B_n(t) \rightarrow B(z, t)$ и $C_n(t) \rightarrow C(z, t)$ «пропорциональны» (z — координата вдоль интерфейса)

$$B(z, t) = \frac{\alpha \exp\left(-i\Omega t/2 - ivz/2V_b(a^2/\hbar)\right)}{\operatorname{ch}^2[\kappa(z - vt)]},$$

$$C(z, t) = \frac{\alpha\beta \exp\left(-i\Omega t - ivz/V_b(a^2\hbar)\right)}{\operatorname{ch}^2[\kappa(z - vt)]}, \quad (11)$$

где

$$\alpha = \frac{\hbar}{2\Gamma}(\tilde{\omega}_c - 2\tilde{\omega}_b), \quad \kappa = a^{-1} \left[\frac{\hbar(\tilde{\omega}_c - 2\tilde{\omega}_b)}{6V_b} \right]^{1/2},$$

$$\Omega = \frac{2}{3}(2\tilde{\omega}_c - \tilde{\omega}_b) - \frac{V_b}{2\hbar}(ka)^2,$$

$$V_b = 2V_c, \quad v = -(V_b/\hbar)ka^2, \quad \beta = \pm 1,$$

где a — постоянная решетки.

При этом для «стоячего» солитона с волновым вектором \mathbf{k} вдоль интерфейса, равным нулю, решение имеет вид

$$B(z, t) = \frac{\alpha \exp(-i\Omega t/2)}{\operatorname{ch}^2 \kappa z}, \quad C(z, t) = \beta B(z, t) \exp(-i\Omega t/2), \quad (12)$$

где

$$\alpha \equiv \frac{3\sqrt{V_b V_c}}{2\sqrt{2}\Gamma} \frac{\hbar(2\tilde{\omega}_b - \tilde{\omega}_c)}{V_c - 2V_b}, \quad \kappa = \frac{1}{2a} \sqrt{\frac{(2\tilde{\omega}_b - \tilde{\omega}_c)\hbar}{V_c - 2V_b}},$$

$$\tilde{\omega}_{b,c} = \omega_{b,c} + 2v_{b,c}, \quad v_{b,c} = \frac{V_{b,c}}{\hbar}, \quad \beta = \pm \sqrt{\frac{V_b}{2V_c}}.$$

При этом несущая частота Ω солитона жестко фиксирована следующим соотношением:

$$\Omega = \Omega_0 = 2 \left[\tilde{\omega}_c \frac{V_b}{V_c} - \tilde{\omega}_b \right] / [2(V_b/V_c) - 1]. \quad (13)$$

Для движущегося солитона ($\mathbf{k} \neq 0$) аналогичным образом величины $B(z)$ и $C(z)$ пропорциональны, фиксирована несущая частота и, более того, должно существовать жесткое соотношение $V_b = 2V_c$ [8]. Наши результаты показывают, что указанные ограничения для «стоячего» солитона обусловлены только a priori принятой пропорциональностью пространственно-временной зависимости $B(z, t)$ и $C(z, t)$. Такая пропорциональность, как показывают наши расчеты, существует только в «выколотых» точках Ω_0 , найденных в [8].

В дальнейшем мы будем рассматривать только симметричные относительно условно определенного узла 1 решения на системе узлов $1, 2, 3, \dots, N$ «половины» цепочки ($b_n \equiv b_{N_0-n+2}$, $c_n \equiv c_{N_0-n+2}$), $N \equiv (N_0 + 2)/2$, N_0 — четное. Проведем масштабное преобразование $\tilde{b}_n \equiv (\Gamma/\hbar)B_n$, $\tilde{c}_n \equiv (\Gamma/\hbar)C_n$ для исключения Γ из последующих расчетов и будем искать нелинейные решения с несущей частотой Ω в виде

$$\tilde{b}_n = b_n \exp(-i\Omega t/2), \quad \tilde{c}_n = c_n \exp(-i\Omega t). \quad (14)$$

Тем самым мы ограничиваемся рассмотрением «стоячего» солитона. После подстановки (14) в (10a) находим c_n как функцию b_n

$$c_n = \frac{1}{2} \left(\frac{\Omega}{2} - \omega_b - v_b \frac{b_{n-1} + b_{n+1}}{b_n} \right). \quad (15)$$

Последующая подстановка c_n в (10b) дает соответствующее уравнение для b_n

$$(\Omega - \omega_c) \left(\frac{\Omega}{2} - \omega_b - v_b \frac{b_{n-1} + b_{n+1}}{b_n} \right) - v_c \left[2 \left(\frac{\Omega}{2} - \omega_b \right) - v_b \left(\frac{b_{n-2} + b_n}{b_{n-1}} + \frac{b_n + b_{n+2}}{b_{n+1}} \right) \right] = 2b_n^2. \quad (16)$$

Система уравнений (16) инвариантна относительно изменения знака b_n , т. е. замены b_n на $-b_n$. Поэтому в дальнейшем, если это не указано отдельно, обсуждаются только решения с определенной фиксированной последовательностью знаков b_n . Естественно, в полный набор решений входят и решения с противоположными знаками b_n .

Система уравнений (10) при $N_0 = 2, 4$ имеет точные аналитические решения, которые могут быть использованы для выяснения основных тенденций в систематике решений при увеличении числа пар ВС в цепочке $N_0 > 4$. Для $N_0 = 2$ (две пары ВС) восемь аналитических решений b_n ($n = 1, 2$) подразделяются на два симметричных решения относительно центра двух пар ВС

$$b_1 = b_2 = \pm \sqrt{(D^{(2)} - P)/2 + Q/2}, \quad D^{(2)} = (\Omega - \omega_c - v_c)(\Omega/2 - \omega_b), \quad (17)$$

где

$$P = v_b(\Omega - \omega_c), \quad Q = v_b v_c,$$

и два антисимметричных относительно этого центра

$$b_1 = -b_2 = \pm \sqrt{(D^{(2)} + P - Q)/2}. \quad (18)$$

Подобные симметричные и антисимметричные состояния существуют и в линейной теории колебаний. Вместе с тем остальные четыре решения (и это результат нелинейности уравнений) являются генетически началом решений солитонного типа. Эти решения имеют вид

$$b_1 = \pm \sqrt{(D^{(2)} - Px + Q/x)/2}, \quad b_2 = b_1/x, \quad (19)$$

где $x = x_{1,2} = y \pm \sqrt{y^2 - 1}$, $y \equiv D^{(2)}(2P)^{-1}$.

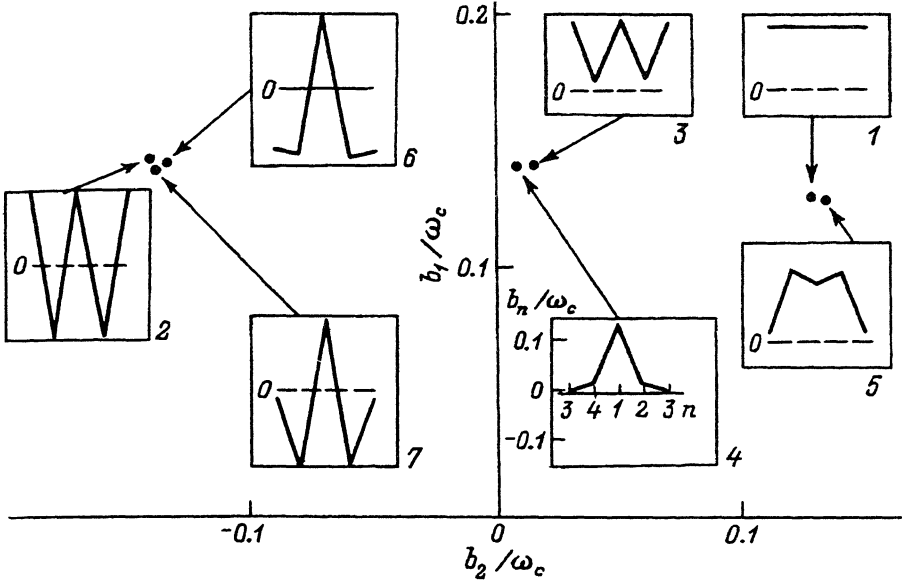


Рис. 2. Огибающие нелинейных волн. $N_0 = 4$.

Четыре последних решения являются фактически топологически единственным солитонным решением $b_1 > b_2 > 0$, не симметричным относительно центра двух ВС пар, и его зеркальными отображениями при заменах $b_1 \leftrightarrow b_2$ и $b_n \rightarrow -b_n$. Соответствующие решениям (19) значения c_n получаются автоматически из (15).

Для $N_0 = 4$ все 24 решения для b_1, b_2, b_3 также подразделяются на симметричные решения $b_1 = b_2$ и, кроме того, решения солитонного типа, не имеющие такой симметрии. Мы не рассматриваем здесь особую точку $b_1 = -b_3, b_2 = 0$. Симметричные состояния отвечают решениям

$$b_1 = b_2 = b_3 = \pm \sqrt{(D - P + 4Q)/2}, \quad (20a)$$

$$b_1 = -b_2 = b_3 = \pm \sqrt{(D + P - 4Q)/2}, \quad (20b)$$

$$b_1 = xb_2 = b_3 = \pm \sqrt{(D - 2P/x + 4xQ)/2}, \quad (20c)$$

где для решений (20c) величина x имеет два значения

$$x = y \pm \sqrt{y^2 - 1}, \quad y = \frac{D}{4P}, \quad D \equiv (\Omega - \omega_c - 2v_c)(\Omega/2 - \omega_b).$$

Остальные 16 решений солитонного и квазисолитонного типа имеют вид

$$b_1 = \frac{x}{2} \pm \sqrt{\left(\frac{x^2}{2}\right) - y}, \quad b_3 = \frac{y}{b_1}, \quad b_2 = \frac{1}{P} b_1 b_3 (b_1 + b_3), \quad (21)$$

где $x = \pm \sqrt{\frac{D}{2} + y + \frac{PQ}{y}}$, а величина y является решением уравнения четвертой степени

$$y^4 + (D/2)y^3 - [DP(P+Q)/2]y + P^2[P^2/2 - Q^2] = 0. \quad (22)$$

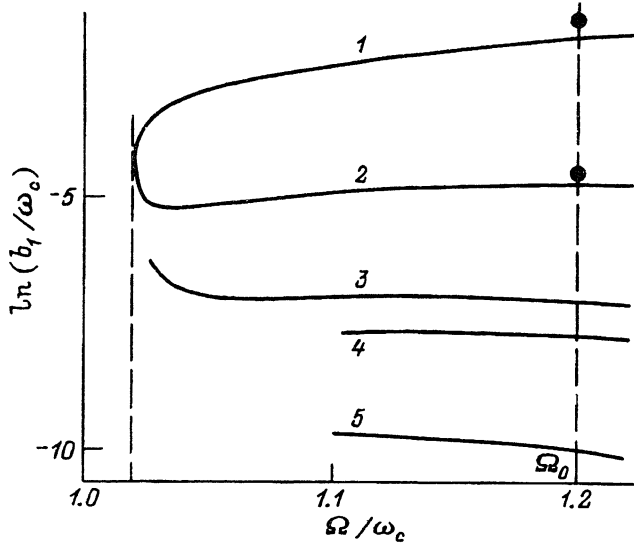


Рис. 3. Зависимость огибающей $b_n(\Omega)$ $n = 1, 2, \dots$ солитона от несущей частоты Ω .

Зависимости b_n для всех найденных при $N_0 = 4$ решений представлены соответствующими графиками на вставках на рис. 2. На этом рисунке в верхней полуплоскости $b_1 > 0$, b_2 жирными точками представлены пары b_1/ω_c , b_2/ω_c , являющиеся решениями (20), (21). Удобство такого представления решений в плоскости b_1 , b_2 видно из последующего изложения, где будет показано, что значения b_3 , b_4, \dots, b_n ($n > 2$) определяются именно значениями b_1 и b_2 . Для рис. 2 выбраны параметры, близкие к использованным в [8,9]: $\omega_b/\omega_c = 0.4$, $v_b/\omega_c = v_c/\omega_c = 0.01$, $\Omega/\omega_c = 1.2$. Вставки 1–3 отвечают симметричным решениям (20). Вставки 4–7 отвечают солитонному решению (вставка 4) и квазисолитонным решениям (вставки 5–7). На вставке 4 показан порядок изменения n в зависимости b_n , связанный с представлением в виде замкнутой цепочки.

Представляет интерес для аналитического решения (21) (см. вставку 4 на рис. 2), отвечающего солитону при $N_0 = 4$ и являющегося развитием солитонного решения (19) при $N_0 = 2$, проследить зависимости $b_n(\Omega)$ с целью выяснить, является ли необходимым полученное в [8,9] жесткое условие (13) на частоту Ω . На рис. 3 представлены зависимости $\ln b_n(\Omega)$. Кривые 1–3 отвечают соответствующим зависимостям $\ln b_{1,2,3}(\Omega)$. При $\Omega \rightarrow \omega_c + 2v_c$ эти кривые сходятся в одну точку на низкочастотной границе существования солитонов. Жирными точками на рис. 3 представлено решение $b_1 = B(z = 0)$, $b_2 = B(z = a)$, где a — постоянная решетки, полученное в [8,9] при жестком условии на частоту $\Omega = \Omega_0$ (13). При данных параметрах частота $\Omega_0/\omega_c = 1.2$. Аналитический расчет показывает, что в этой точке отношения $b_n/c_n = \gamma_n$ равны $\gamma_1 = 1.414$, $\gamma_2 = 1.414$, $\gamma_3 = 1.412$ ($\beta = 2^{-1/2}$ см. (12)), т. е. различаются в четвертой значащей цифре. В соседней низкочастотной точке $\Omega/\omega_c = 1.18$ эти отношения равны $\gamma_1 = 1.37$, $\gamma_2 = 1.31$, $\gamma_3 = 1.24$,

т. е. существенно различаются уже во второй значащей цифре, при чем $\gamma_1 > \gamma_2 > \gamma_3$. Справа от точки (13) в высокочастотной области при $\Omega/\omega_c = 1.22$ эти отношения равны $\gamma_1 = 1.45$, $\gamma_2 = 1.51$, $\gamma_3 = 1.58$, т. е. отличие, так же как и при $\Omega/\omega_c = 1.18$, во второй значащей цифре, но $\gamma_1 < \gamma_2 < \gamma_3$. Такая зависимость b_n/c_n вблизи точки Ω_0 доказывает, что при $\Omega = \Omega_0$ существует пропорциональность $b_n \sim c_n$, которая и была существенно использована в [8,9]. И при $\Omega < \Omega_0$, и при $\Omega > \Omega_0$ это условие пропорциональности явно нарушается, теория [8,9] неприменима, однако, как видно из рис. 3, никаких принципиальных изменений в зависимости $b_n(\Omega)$ не происходит. Остальные кривые на рис. 3 обсуждаются далее.

При $N_0 = 6$ на пространстве b_1, b_2, b_3, b_4 можно найти аналитически нелинейные решения симметричного типа $b_1 = b_4, b_2 = b_3$, антисимметричного типа $b_1 = -b_4, b_2 = -b_3$ и нелинейные решения симметрии $b_1 = b_3, b_2 = b_4$. В этих случаях система четырех уравнений сводится к более простой системе двух уравнений. Симметричные решения имеют вид

$$b_1 = b_4 = \pm \sqrt{(D - 2P/x + 2Qx + 2Q)/2}, \quad b_2 = b_3 = b_1/x, \quad (23)$$

где величина $x = 1$ или x является решением кубического уравнения

$$(Q - P)x^3 + (D + 2Q - 2P)x^2 + (D + 2Q - 2P)x - 2P = 0.$$

Антисимметричные решения имеют вид

$$b_1 = -b_4 = \pm \sqrt{(D - 2P/y + 2Qy - 2Q)/2}, \quad b_2 = -b_3 = b_1/y, \quad (24)$$

где величина y является решением уравнения четвертой степени

$$(Q - P)y^4 + (D + P - Q)y^3 - (D - 2Q)y + 2P = 0.$$

Решения симметрии $b_1 = b_3, b_2 = b_4$ имеют вид

$$b_1 = b_3 = \pm \sqrt{(D - 2P/x + 4Qx)/2}, \quad b_2 = b_4 = b_1/x, \quad (25)$$

где x является решением квадратного уравнения

$$2Px^2 - Dx + 2P = 0.$$

К решениям последнего типа относится и решение

$$b_1 = -b_2 = b_3 = -b_4 = \pm \sqrt{(D + 2P - 4Q)/2}. \quad (26)$$

Точное знание этих аналитических решений позволяет проконтролировать приводимые ниже численные расчеты по алгоритму, использующему рекуррентную процедуру. Некоторые из аналитических решений (23)–(26) представлены на рис. 4.

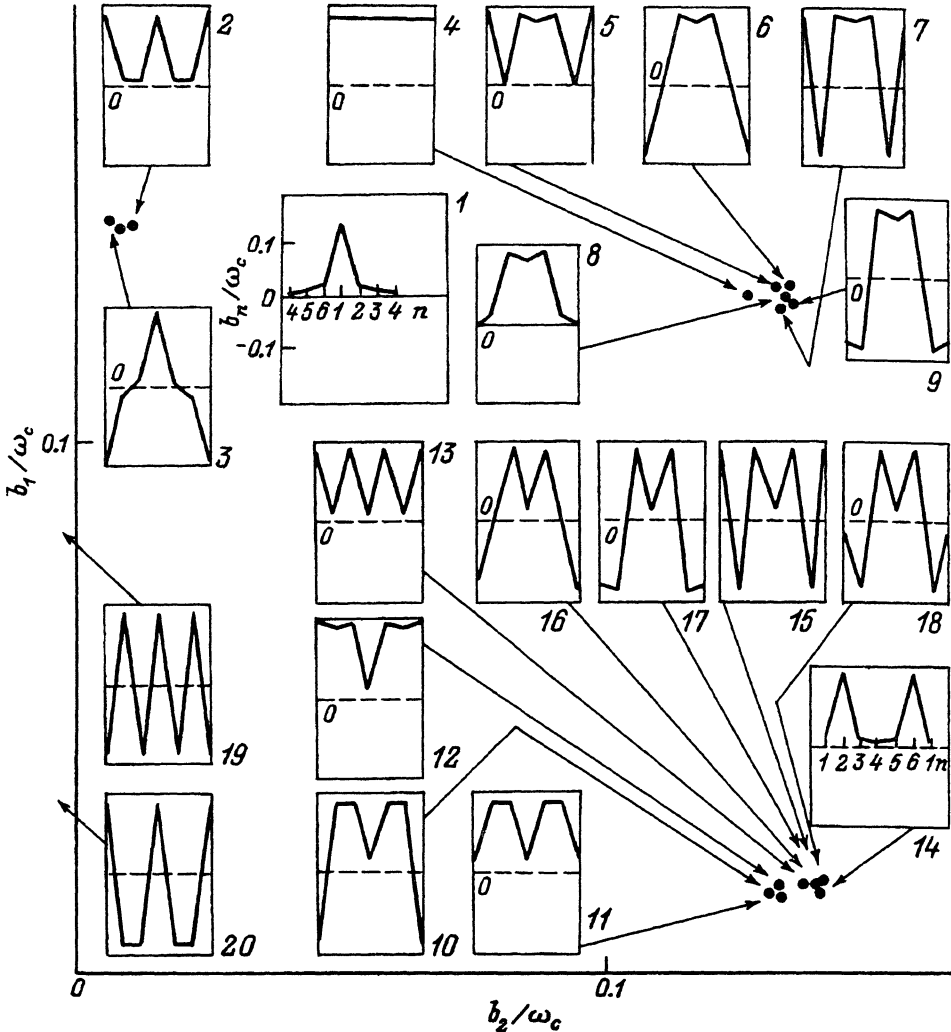


Рис. 4. Огибающие нелинейных волн. $N_0 = 6$.

При $N_0 > 4$ можно воспользоваться рекуррентностью дискретного представления (10). Обратим внимание на то, что из (16) при фиксированном Ω и данных $b_{n-2}, b_{n-1}, b_n, b_{n+1}$ можно вычислить величину $b_{n+2}(\Omega)$

$$b_{n+2} = \frac{b_{n+1}}{v_b v_c} \left[v_b \Omega_c \frac{b_{n-1} + b_{n+1}}{b_n} + 2b_n^2 - D - v_c v_b \frac{b_{n-2} + b_n}{b_{n-1}} - v_c v_b \frac{b_n}{b_{n+1}} \right], \quad (27)$$

где $\Omega_c = \Omega - \omega_c$.

Таким образом, $b_m(\Omega)$ вычисляется через четыре предыдущих $b_{m'}(\Omega)$, $m' = m - 1, m - 2, m - 3, m - 4$. На старте этой процедуры достаточно двух величин b_1 и b_2 , так как $b_{1-1} \equiv b_{N_0} \equiv b_2$ по симметрии и b_3 вычисляется из первого уравнения (16) с $n = 1$. Из последующих

$N - 3$ уравнений с $n = 2, 3, \dots, N - 2$ по формуле (27) определяются b_4, b_5, \dots, b_N . Последние два уравнения (16) с $n = N - 1, N$ являются фактически двумя уравнениями для определения двух неизвестных b_1, b_2 . Они имеют следующий вид:

$$F_1(b_1, b_2) \equiv \Omega_c v_b \frac{b_{N-2} + b_N}{b_{N-1}} - v_c v_b \left(\frac{b_{N-3} + b_{N-1}}{b_{N-2}} + \frac{2b_{N-1}}{b_N} \right) + 2b_{N-1}^2 - D = 0,$$

$$F_2(b_1, b_2) \equiv \Omega_c v_b \frac{2b_{N-1}}{b_N} - 2v_c v_b \left(\frac{b_{N-2} + b_N}{b_{N-1}} \right) + 2b_N^2 - D = 0. \quad (28)$$

Эта система уравнений относительно легко решается численно. По найденным из (28) корням $b_1(\Omega), b_2(\Omega)$ вновь с помощью той же рекуррентной процедуры определяются для данного решения и все значения $b_n(\Omega), n = 3, 4, 5, \dots, N$. Этот алгоритм был реализован для $N_0 = 6, 8, 10$ на ЭВМ средней мощности ЕС-1066. Вместе с аналитическими решениями для $N_0 = 2, 4$ это дает общую систематику нелинейных решений для интерфейса.

На рис. 4 представлены результаты расчета огибающих нелинейных волн по приведенной выше схеме. Далее величины b_n приводятся в единицах ω_c , т. е. $b_n/\omega_c \rightarrow b_n$. Показан первый квадрант плоскости $b_1 \geq 0, b_2 \geq 0$. Топологически эквивалентные по преобразованию $n \leftrightarrow N - n + 1$ решения не показаны. Жирными кружками представлены решения b_1, b_2 , полученные численным решением системы уравнений (28) с величинами b_3, b_4, \dots, b_N , определенными из (27) при $n = 3, 4, \dots, N - 2$. Соответствующие этим точкам (в направлении стрелок) пространственные зависимости b_n представлены для каждого решения отдельно на соответствующих вставках. Мы ограничимся обсуждением только наиболее интересных решений. Эти решения в плоскости b_1, b_2 расположены кластерами: в первом кластере — решения 1–3 ($b_1 \cong 0.14, b_2 \cong 0.01$), во втором — решения 4–9 ($b_1 \cong b_2 \cong 0.14$), в третьем — решения 10–18 ($b_1 \cong 0.01, b_2 \cong 0.14$). Решению, соответствующему солитону, полученному в [8,9], отвечает соответствующий корень (вставка 1) в первом кластере. Генезис развития этого решения при увеличении N_0 очевидно из сравнения решений (19) для $N_0 = 2, b_1 = 0.14, b_2 = 0.008$, решений (21) для $N_0 = 4$ (рис. 2), $b_1 = 0.14, b_2 = 0.0074, b_3 = 0.00075$ и рис. 4 для $b_1 = 0.14, b_2 = 7.4 \cdot 10^{-3}, b_3 = 3.7 \cdot 10^{-4}, b_4 = 3.7 \cdot 10^{-5}$. Из этого и из расчетов с $N_0 = 8, 10$ следует, что для солитонного решения (вставка 1 на рис. 4) увеличение N_0 приводит только к наращиванию «хвоста» и слабому изменению в максимуме амплитуды. Такая закономерность видна и из рис. 3, где кривые 4 и 5 представляют зависимости $b_3(\Omega), b_4(\Omega)$ и кривые 1 и 2, ранее отвечающие b_1, b_2 для $N_0 = 4$, представляют и b_1, b_2 для $N_0 = 6$, поскольку разница в этих кривых для $N_0 = 4$ и 6 меньше толщины этих кривых. Кривые 4, 5 представляют $\ln b_{3,4}(\Omega)$ только вблизи $\Omega = \Omega_0$. Вставки 2, 3 (рис. 4) отвечают симметричным (2) и антисимметричным (3) решениям, рассмотренным выше аналитически. На вставке 4 представлено стационарное решение $b_n = (D/2 - P + 2Q)^{1/2} = 0.127$ второго кластера. Это решение существует при всех $N_0 \geq 4$. Во втором кластере среди решений 5–9 присутствуют как антисимметричные (9), так и квазисолитонные (8) решения без симметрии. В третьем кластере

представляет интерес обсуждающийся в литературе так называемый «темновой» солитон, имеющий не максимум в зависимости b_n от n на бесконечной цепочке, а минимум. Этому решению в нашем случае отвечает, очевидно, решение (12). Среди решений 10–18 присутствуют как решения симметричного типа (11), антисимметричного типа (18), так и решения (13) симметрии $b_1 = b_3$, $b_2 = b_4$, рассмотренные выше в (25). С увеличением N_0 среди полного набора решений, поскольку система уравнений (16) решается точно, должны появляться решения, отвечающие бисолитону с двумя пиками, трисолитону с тремя пиками и т. д. Решение 14 является, очевидно, началом в генерации бисолитонных решений. На вставке 14 для графического сравнения, например, с видом нелинейных решений Тода произведена циклическая перестановка позиций пар ВС. По-видимому, с ростом N_0 будут появляться 3, 4, 5... солитонные решения. Вставки 19, 20 демонстрируют решения из квадранта $b_1 > 0$, $b_2 < 0$ и относятся к симметрии $b_1 = b_3$, $b_2 = b_4$ и $b_1 = b_4$, $b_2 = b_3$ соответственно.

Из рис. 2, 4 видно, что число нелинейных волн быстро нарастает с увеличением N_0 , что очевидным образом связано с нелинейным характером соответствующих уравнений. Анализ полученных решений, представленных на необсуждавшихся вставках, выяснение их соответствующего физического смысла не являлось целью данной работы и предполагается в будущем. На наш взгляд, предлагаемая процедура численного решения (28) с использованием рекуррентного метода позволяет в принципе найти абсолютно все решения системы нелинейных уравнений (10), и ограничения в этом связаны только с мощностью ЭВМ. Предложенный алгоритм дает возможность точно определить форму огибающих, частотные характеристики и т. д. для известных нелинейных волн типа солитонов и мультисолитонов и, кроме того, позволяет найти принципиально новые типы колебаний, которые должны быть в дальнейшем исследованы аналитически.

В заключение авторы считают своим долгом выразить искреннюю признательность В.М. Аграновичу и А.М. Камчатнову за полезные обсуждения.

Список литературы

- [1] So F.F., Forrest S.R., Shy Y.Q., Steier W.H. Appl. Phys. Lett. **56**, 7, 674 (1990).
- [2] So F.F., Forrest S.R. Phys. Rev. Lett. **66**, 20, 2649 (1991).
- [3] Agranovich V.M. Mol. Cryst. Liq. Cryst. **230**, 1, 13 (1993).
- [4] Agranovich V.M., Atanasov R.D., Bassani G.F. Chem. Phys. Lett. **199**, 6, 621 (1992).
- [5] Agranovich V.M. Physica Scripta **49**, 6, 699 (1993).
- [6] Agranovich V.M., Dubovsky O.A. Chem. Phys. Lett. **210**, 4–6, 458 (1993).
- [7] Agranovich V.M., Page J.B. Phys. Lett. **A183**, 5/6, 395 (1993).
- [8] Агранович В.М., Камчатнов А.М. Письма в ЖЭТФ **59**, 6, 397 (1994).
- [9] Agranovich V.M., Dubovsky O.A., Kamchatnov A.M. J. Phys. Chem. **98**, 51, 13607 (1994).